

마우스 신경모세포종 모델을 이용한 HSV-TK 유전자 치료에서 Bystander 효과 및 증폭에 관한 연구

한림대학교 의과대학 소아과학교실, 아주대학교 의과대학 소아과학교실*

조현상 · 김문규* · 박종영†

A Study of the Bystander Effect and Its Enhancement in HSV-TK Gene Therapy Using a Murine Neuroblastoma Model

Hyun Sang Cho, M.D., Moon Kyu Kim, M.D.* and Chong Young Park†

Department of Pediatrics, College of Medicine, Hallym University, Seoul,
Department of Pediatrics*, College of Medicine, Ajou University, Suwon, Korea

Purpose : Selective introduction of genes conferring chemosensitivity into proliferating tumor cells may be used to treat cancer. We first investigated the bystander effect of retrovirus-mediated gene transfer of herpes simplex virus thymidine kinase(HSV-TK) gene to murine neuroblastoma cell line(neuro-2a) *in vitro* and *in vivo*. Second, we examined the mechanism and its enhancement of the bystander effect in murine neuroblastoma.

Methods : To investigate the bystander effect, we studied tumor growth and survival time after HSV-TK/ganciclovir(GCV) treatment in a syngenic A/J mouse neuroblastoma model by mixing various ratios of HSV-TK-expressing neuro-2a cells with wild type neuro-2a cells followed by GCV treatment. To investigate the mechanism of the bystander effect in murine neuroblastoma, immunohistochemistry using connexin 43, CD4 and CD8-specific monoclonal antibodies was analyzed. We studied whether IL-2-secreting neuro-2a cells(neuro-2a/IL-2) would potentiate the bystander effect.

Results : A strong bystander effect was observed *in vitro* and *in vivo*. The bystander effect in murine neuroblastoma was dependent on the immune response rather than connexin-mediated gap junction. Neuro-2a/IL-2 treatment enhanced the bystander effect in the HSV-TK/GCV system in murine neuroblastoma model.

Conclusion : We conclude that the bystander effect in murine neuroblastoma depends on immune response and is enhanced by neuro-2a/IL-2. (J Korean Pediatr Soc 2002;45:354-361)

Key Words : HSV-TK, Bystander effect, Neuroblastoma

서 론

본 논문은 2000년도 MSD 학술상 지원에 의함.

†현주소 : 박종영 소아과의원

접수 : 2001년 9월 5일, 승인 : 2001년 11월 6일

책임저자 : 조현상, 한림의대 강동성심병원 소아과

Tel : 02)2224-2256 Fax : 02)482-8334

E-mail : hscho@hallym.or.kr

Herpes simplex virus(HSV)-thymidine kinase (TK) 유전자 치료는 TK의 존재하에 항바이러스 제제인 ganciclovir(GCV)가 세포 살상능을 나타내는 것을 이용하는 것으로 TK 유전자를 벡터로 이용하여 암세

포 내로 전달함으로써 선택적으로 종양 세포를 제거하는 치료법이다¹⁾. HSV-TK/GCV 치료의 큰 장점은 bystander 효과에 있다. Freeman 등²⁾과 Colombo 등³⁾은 종양 세포의 10% 정도만 HSV-TK 유전자가 형질 도입되어도 나머지 90%의 wild type 종양 세포에서 괴사가 일어난다는 bystander 효과를 보고하여 반드시 모든 암세포에 HSV-TK 유전자가 형질 도입되지 않아도 된다고 하였다. Bystander 효과의 기전은 첫째, GCV의 독성 대사 산물이 세포사이의 gap junction을 통해 전달됨으로써 인접한 세포의 괴사를 일으키고⁴⁻⁶⁾, 둘째, 죽은 종양 세포를 항원 제공 세포(antigen presenting cell)가 탐식하여 전신적인 항 종양 면역 반응을 일으키기 때문으로 알려져 있다⁷⁻¹⁰⁾. 또한 HSV-TK/GCV 치료에 의한 항 종양 면역 반응의 유발은 interleukin(IL)-2와 같은 사이토카인에 의해 HSV-TK/GCV 치료의 bystander 효과를 증폭시킬 수 있다고 보고되고 있다¹¹⁾.

본 연구에서는 마우스 신경모세포종 모델에서 HSV-TK/GCV 유전자 치료의 독특한 특징인 bystander 효과를 증명하고, 이의 기전이 다른 종양 모델에서 관찰되는 기전과 동일한지 알아보고 또한 IL-2와 병합 치료함으로써 bystander 효과의 증폭이 가능한지 조사하여 이의 결과를 신경모세포종의 수술 후 잔존암 치료에 적용하고자 본 연구를 시행하였다.

대상 및 방법

1. 대상 세포주 및 배양

ATCC(Rockville, MD, USA)로부터 구입한 마우스 신경모세포종 세포주인 neuro-2a 세포를 가열 비활성화시킨 10% 우태아혈청(GIBCO, Grand Island, NY, USA), 2.8 g/L HEPES(Sigma, St. Louis, MO, USA), 2.2 g/L NaHCO₃(Sigma) 및 100 µg/mL penicillin(GIBCO), 100 U/mL streptomycin(GIBCO)이 포함된 Minimum essential media(MEM, GIBCO)이 포함된 배지를 기본 배양액으로 하여 5% CO₂의 존재 하에 37°C 항온 배양기에서 배양하였다.

2. 재조합 retroviral 벡터의 PA317 세포 감염

재조합 TK 및 IL-2 유전자를 포함하고 있는 pLNC/TK 및 pLNC/IL-2 벡터(Fig. 1)는 한국 생명과학 연구소로부터 얻었다. Amphotrophic packing

세포(PA317 세포) 약 5×10⁵ 세포를 직경 60 mm 배양 접시에 10% 우태아 혈청이 함유된 Dulbecco's Modified Eagle Medium(DMEM, Sigma) 배양액으로 배양한 뒤, 배양 접시 바닥 면적의 70-80% 정도 세포가 자라면 calcium-phosphate 방법으로 재조합 retrovirus를 형질 도입시킨 후 800 µg/mL 농도의 G418(Geneticin®, GIBCO)이 포함된 DMEM 배지로 배양하여 LNC/TK 및 LNC/IL-2에 의해 형질 도입된 세포들만을 선택하였다. 12-15일 배양 후 G418에 저항성을 가지고 있는 집락을 cloning 하여 증폭시킨 후 다음과 같이 바이러스 역가를 측정하였다.

3. 재조합 retrovirus의 역가 측정

높은 역가의 TK 및 IL-2 유전자를 포함한 재조합 retrovirus를 산출하는 master packing cell line의 선별은 G418을 이용하여 cloning한 세포 상층액으로 target 세포주인 NIH-3T3 세포를 감염시켰다. 감염 하루 전에 NIH-3T3 세포를 six-well plate의 well 당 2×10⁴ 세포씩 plating 하여 배양하였고, 바이러스 상층액을 DMEM 배양액으로 10⁻¹, 10⁻², 10⁻³, 10⁻⁴, 10⁻⁵, 10⁻⁶, 10⁻⁷배로 계단 희석하고, 희석된 바이러스액 1 mL을 세포 배양액이 제거된 NIH-3T3 세포에 감염시키기 위해 접종하였다. 30분 간격으로 천천히 dish를 흔들어 바이러스가 포함된 배지가 세포 전체로 균일하게 퍼지게 하였다. 3시간 동안 바이러스를 세포에 감염시킨 후 4 mL의 DMEM 배양액을 첨가하여 세포를 배양하였다. 감염 48시간 후에 배양액을 제거한 후 800 µg/mL 농도의 G418을 함유하는 DMEM 배양액 2 mL씩을 각 well에 투여하고 계속 배양하면서 48시간마다 배지를 갈아주었다. 약 12-15일 후 G418에 저항성이 있는 세포군이 관찰되면 배양액을 제거하고 methylalcohol/methylene blue 염색

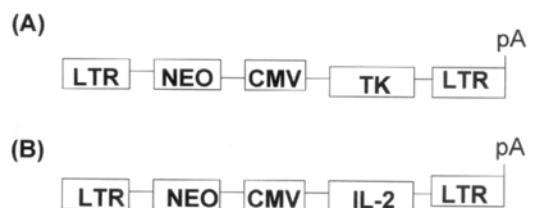


Fig. 1. Structure of the recombinant retroviral vector LNC/TK(A) or LNC/IL-2(B). LTR : long terminal repeats, NEO : neomycin resistance gene, CMV : cytomegalovirus promoter, TK : thymidine kinase gene, IL-2 : interleukin-2.

용액으로 세포군을 염색한 후 retrovirus 역가를 Kriegler¹²⁾가 제안한 다음의 공식에 의해 계산하였다.

$$\text{titer} = \text{number of colonies in highest dilution} \times \text{dilution}$$

가장 높은 역가의 retrovirus를 산출하는 clone (PA317/LNC/TK or PA317/LNC/IL-2)이 결정되면 그 세포군의 배양액을 모아 다음 실험에 이용하였다.

4. 재조합 retrovirus의 신경모세포종 세포주에 형질 전환

약 1×10^5 neuro-2a 세포를 6 well 배양 접시에 접종한 후 가장 높은 역가의 retrovirus를 산출하는 PA317/LNC/TK or PA317/LNC/IL-2 clone의 상층액 1 mL을 배양 접시에 골고루 섞으면서 세포에 감염시켰다. 이때 세포 감염의 효율성을 높이기 위해 8 $\mu\text{g}/\text{mL}$ 의 polybrene을 첨가하였다. 4시간 후 G418이 포함되지 않은 MEM 배지 4 mL을 첨가한 다음 48 시간 후부터 500 $\mu\text{g}/\text{mL}$ 농도의 G418을 포함하는 MEM 배지로 선별 배양을 10-14 일간 계속하였다. G418에 저항성을 가지고 있는 집락(neuro-2a/TK or neuro-2a/IL-2)을 선택하여 각각의 집락 세포를 대량 배양하였다.

5. IL-2 농도 측정

각각 1개씩의 neuro-2a/IL-2 세포를 선택한 후 장기 배양하여 4개 집락 세포를 선택하였으며 이를 각각 1×10^6 개씩 6 well 배양 접시에 접종한 다음, 각각의 배양 접시에 1 mL의 MEM 배지를 첨가하고 배양 24시간 후 상층액을 취하였다. 채집된 상층액을 0.45 μm 크기의 syringe filter로 여과시킨 후 여과된 상층액 내의 IL-2의 농도를 IL-2 ELISA kit (R&D, Minneapolis, MN, USA)를 이용하여 450 nm의 파장에서 측정하였다.

6. In vitro bystander 효과

In vitro에서 bystander 효과를 측정하기 위해 neuro-2a/TK 세포와 unmodified neuro-2a세포를 100%:0%, 50%:50%, 10%:90%, 5%:95%, 0%:100%의 비율로 혼합한 후 이들을 6 well 배양 접시에 1×10^6 개씩 접종한 뒤, 24시간 후 10 $\mu\text{g}/\text{mL}$ 농도의 GCV(Cymevene[®], Syntex UK)를 포함하는 배지에서 배양한 후, 1, 2, 3, 4일 후 살아있는 세포수를 측정하였다.

7. In vivo bystander 효과

In vivo에서 bystander 효과를 측정하기 위해 neuro-2a/TK 세포와 unmodified neuro-2a세포를 100%:0%, 50%:50%, 10%:90%, 0.5%:95%, 0%:100%의 비율로 혼합한 후 마우스 피하에 주사하여 5-8 mm 크기의 종양이 형성된 후 GCV 50 mg/kg를 복강내로 1주간 투여한 후 종양 형성 유무를 관찰하였다. 각각의 실험에는 8마리의 A/J 마우스를 이용하였다.

8. HSV-TK 유전자 치료의 면역 반응

HSV-TK 유전자 치료와 면역 세포와의 관련성을 조사하기 위해 2×10^6 neuro-2a/TK 세포(100% HSV-TK 군) 및 wild type neuro-2a 세포(대조군)를 마우스 피하에 주사한 후 1주 후부터 50 mg/kg 농도의 GCV를 복강내로 1주일간 투여하였고 GCV 투여 종료 1주 후 wild type neuro-2a세포를 반대측 피하에 주입하여 종양 형성 유무를 관찰하였다. 각각의 실험에는 6마리의 A/J 마우스를 이용하였다.

9. 면역 조직 화학 반응

위 7번 실험에서 neuro-2a/TK 세포를 투여하고 GCV를 투여한 후 neuro-2a/TK 세포를 주사한 피하 부위의 조직을 채취하여 파라핀으로 포매 하였다. 4 μm 두께의 조직 절편을 만들어 xylene과 alcohol로 탈파라핀과 합수를 시킨 후 20분간 0.3% 과산화 수소로 처리하여 내인성 과산화 효소의 작용을 차단시켰다. 다시 PBS 완충액에 10분간 세척한 후 차단 혈청에 30분간 작용시켜 비 특이성 단백질 염색을 차단하였다. 조직 절편을 PBS로 세척한 후, 실온에서 1시간 동안 1:100으로 희석한 goat anti-mouse polyclonal CD4 및 rabbit anti-mouse polyclonal CD8(Santa Cruz Biotechnology, Inc., Santa Cruz, CA, USA) 항체들에 각각 반응시켰다. PBS로 세척한 후에 이차 항체로 PBS에 1:100으로 희석한 biotinylated anti-goat IgG(DAKO, Carpinteria, CA, USA)와 실온에서 30분간 반응시킨 후 PBS로 10분간 2회 세척하고, 실온에서 30분 동안 horseradish-peroxidase-linked streptavidin(DAKO, LSAB kit)과 반응시켰다. 이를 PBS로 10분간 2회 세척하고 diaminobenzidine (Sigma)으로 5-10분간 발색시켜 흐르는 물에 수세하고 Mayer hematoxylin으로 대조 염색한 후 비수용

성 봉입제로 봉입 하였다. 또한 마우스 신경모세포종에서 connexin 43의 발현 정도를 알아보기 위해 2×10^6 neuro-2a/TK 세포를 마우스 피하에 주사하고 종양이 형성된 후, 조직을 채취하여 파라핀으로 포매시키고 mouse anti-connexin 43 monoclonal antibody (Chemicon International, Inc., Temecula, CA, USA)를 이용하여 면역 조직화학 검사를 시행하였다.

10. Bystander 효과 증폭

25% HSV-TK 군 및 10% HSV-TK 군 세포 2×10^6 개를 마우스 좌측 피하에 주사한 후 5 mm 크기의 종양이 형성되면 우측 피하에 2×10^6 개의 neuro-2a/IL-2 세포를 주입하고 3일 후부터 50 mg/kg 농도의 GCV를 복강내로 1주일간 투여하여 종양 크기의 변화 및 생존 유무를 neuro-2a/IL-2 세포를 투여하지 않은 대조군과 비교하여 관찰하였다. 각각의 실험에는 8마리의 마우스를 이용하였다.

결 과

1. 신경모세포종 세포주의 LNC/TK retrovirus에 의한 형질 전환

2×10^4 NIH-3T3 세포를 6 well plate에 접종한 후 well 당 10^{-3} , 10^{-4} , 10^{-5} , 10^{-6} , 10^{-7} 배로 희석된 바이러스 1 mL씩 감염시킨 후 감염된 세포만을 배양한 결과 상층액 1 mL당 바이러스 역가는 1×10^5 부터 1×10^7 사이로 존재하였다(Table 1). 본 실험에서는 가장 높은 역가의 retrovirus를 산출하는 clone 4를 neuro-2a 세포 감염에 이용하였다.

2. IL-2 농도 측정

Neuro-2a/IL-2 유전자가 발현된 신경모세포종 세포주를 배양하여 4개의 집락을 선택하였다. 선택한 집

Table 1. Number of Colonies Transfected with Diluted Retroviruses and Selected with G-418

Clone number	Colony numbers in diluted retroviruses				
	10^{-3}	10^{-4}	10^{-5}	10^{-6}	10^{-7}
Clone 1	15	8	1		
Clone 2	86	12	2		
Clone 3	36	13	2	1	
Clone 4	145	70	12	3	1
Clone 5	26	12	5	2	
Clone 6	96	21	7	2	

락에서 약 1×10^6 neuro-2a/IL-2 세포를 선택하여 6 well 배양 접시에서 24시간 배양 후 측정된 IL-2의 농도는 Table 2와 같았다. 각각의 clone에서 IL-2의 분비 능력은 78.0 ± 8.7 IU/day에서 부터 92.1 ± 7.5 IU/day까지 다양하게 분비되었다(Table 2).

3. In vitro bystander 효과

HSV-TK 유전자가 형질 도입된 신경모세포종 세포주에 10 μ g/mL 농도의 GCV를 포함하는 배지에서 배양한 결과 100% HSV-TK 군에서는 1, 2, 3일 및 4일 후 살아있는 세포의 생존율은 90, 35, 5, 0%였으며, 50% HSV-TK 군에서는 92, 40, 10, 0%였고 10% HSV-TK 군에서는 95, 50, 20, 15%였으며, 5% HSV-TK 군에서는 95, 60, 55, 55%였다. 그러나, HSV-TK 유전자가 도입되지 않은 신경모세포종 세포주에서는 120, 150, 180, 220%의 생존율을 보였다 (Fig. 2).

Table 2. IL-2 Secretion from Vector-Transduced Neuro-2a Cells

Cells transduced by vector	IL-2(IU)
Neuro-2 cells	0.1
Neuro-2a/LNCX cells	0.1
Neuro-2a/IL-2 cells clone 1	78.0 ± 8.7
clone 2	83.1 ± 5.5
clone 3	88.5 ± 8.1
clone 4	92.1 ± 7.5

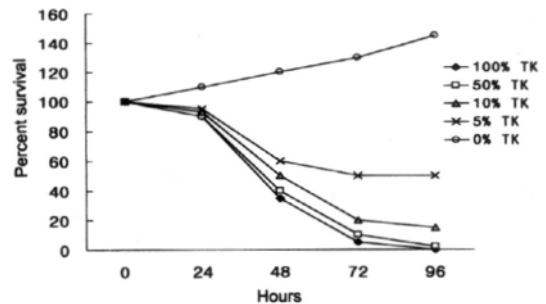


Fig. 2. In vitro bystander assay. Wild type neuro-2a cells and neuro-2a/TK cells were mixed at varying ratios, plated in 6 well culture plates(10^6 /cells), and incubated at 37°C overnight. Cells were exposed to GCV(10 μ g/mL). On day 1, day 2, day 3 and day 4, cells were stained with trypan blue and surviving cells were enumerated.

4. *In vivo* bystander 효과

100% HSV-TK 군에서는 GCV 투여 4일째 종양이 완전히 없어졌으며, 50% HSV-TK 군에서는 6일째부터 육안적으로 종양이 관찰되지 않았으며 6주 이상 관찰한 후에도 종양의 재발되는 경우는 없었다. 반면에 10% HSV-TK 군에서는 7일간 GCV 투여한 후에 종양의 크기는 투여 전과 비교하여 더 이상 커지지는 않았다. 그러나 GCV 투여를 중지하고 약 5-7일 후부터 종양의 성장은 다시 시작되었다. HSV-TK 유전자가 도입되지 않은 신경모세포종 세포를 투여받은 군에서는 GCV 투여하는 동안에도 계속 종양이 성장하였으며 6주 이후에 생존한 마우스는 없었다(Fig. 3).

5. HSV-TK 유전자 치료의 면역 반응

100% HSV-TK 군에서는 GCV 투여 4일째 종양이 모두 없어졌으며, 제 14일에 wild type neuro-2a 세포를 반대측 피하에 주입한 후 6주 이상 관찰한 결과 종양이 형성된 마우스는 없었다. 그러나 대조군에서는 모든 마우스에서 종양이 형성되어 6주 이상 생존한 마우스는 없었다(Fig. 4).

6. 면역 조직 화학 염색

H&E 염색에서 종양 세포 주위에 림프구의 침윤을 관찰할 수 있었다. 면역 조직 화학 염색에서 CD4+ T 세포(Fig. 5A) 및 CD8+ T 세포(Fig. 5B) 침윤이 관찰되었다. 이는 T 세포가 항 종양 효과에 중요한 역할을 할 것으로 추측된다. 마우스 신경모세포종 세포에서 connexin-43의 발현은 관찰되지 않았다(Fig. 5C).

7. Bystander 효과 증폭

25% HSV-TK군에서 GCV만 단독으로 투여한 군에서는 제 7일째 종양이 완전히 소멸되었으나 neuro-2a/IL-2 세포를 주입하고 3일째부터 GCV를 투여한 군에서는 제 4일째 종양이 완전히 소멸되었다(Fig. 6A). 10% HSV-TK군에서 GCV만 단독으로 투여한 군과 비교하여 neuro-2a/IL-2 세포를 주입하고 3일째부터 GCV를 투여한 군에서는 종양의 성장 속도가 감소하는 것을 관찰할 수 있었다(Fig. 6B).

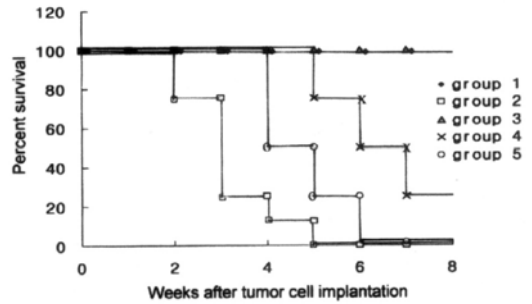


Fig. 3. *In vivo* bystander effect. 2×10^6 cells were injected s.c. into the flank as follows: 100% HSV-TK-transduced (group 1) and 100% untransduced cells (group 2) and mixtures of transduced and untransduced cells at ratios of 1:1 (group 3), 1:10 (group 4) and 1:20 (group 5). When the tumors reached the diameter of 5-8 mm, the mice received intraperitoneally 50 mg/kg GCV twice a day for 7 days.

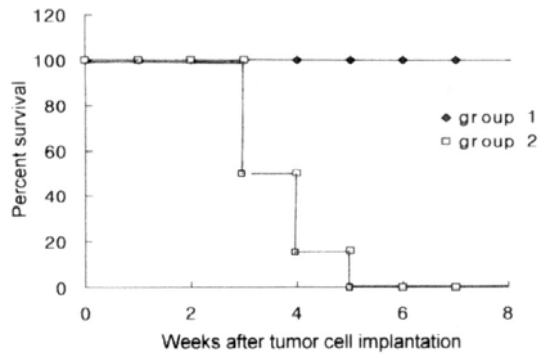


Fig. 4. Induction of immune response in HSV-TK gene-transduced neuro-2a cells. 2×10^6 HSV-TK cells (group 1) and 2×10^6 neuro-2a cells (group 2) injected s.c. into the flank of the mice, respectively (N=6/group). One week after tumor cell challenge, the mice received intraperitoneally 50 mg/kg GCV twice a day for 7 days and then the animals were challenged by s.c. implantation of approximately 2×10^6 unmodified neuro-2a cells contralaterally to the original injection sites 14 days after the last GCV treatment.

고 찰

HSV-TK는 negative 선택 표지자로서, HSV-TK에 형질 도입된 세포가 GCV에 노출되면, GCV는 HSV-TK에 의한 인산화의 기질로 작용하여 결과적으로 이 약물은 triphosphate 형태로 바뀌게되며 결국 DNA 중합효소를 억제하고 DNA에 결합하여 세포가 증식하지 못하도록 한다¹⁾. 지금까지 HSV-TK 유전

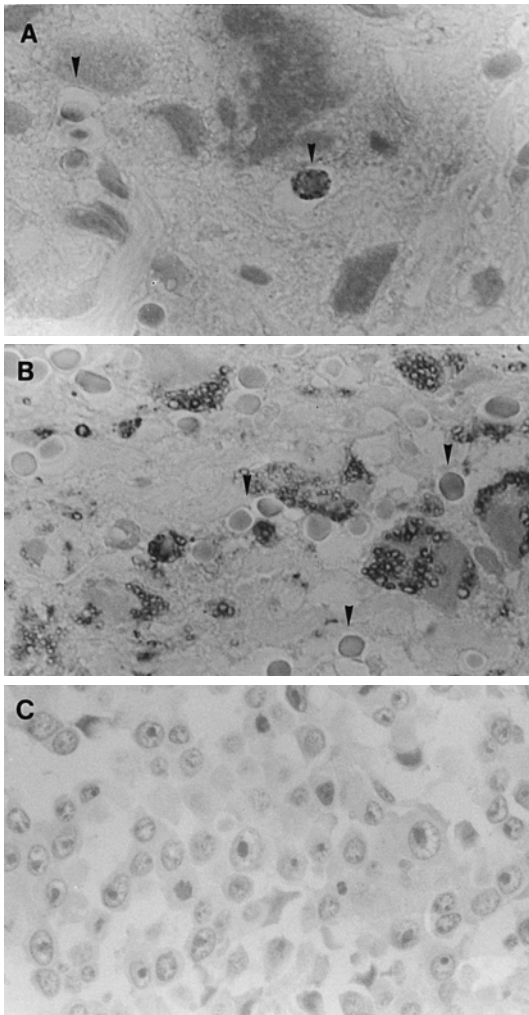


Fig. 5. Expression of CD 4, CD 8 and connexin-43 antigen. Paraffin-embedded sections were reacted with goat polyclonal antibodies to CD4(A), rabbit polyclonal antibodies to CD8(B) and not reacted with mouse anti-connexin 43 antibody(C). A-C : Magnification was at $\times 1,000$.

자 도입 및 발현을 통해서 치료 효과가 입증된 암으로는 간암⁸⁾, 뇌종양¹³⁾, 전립선암¹⁴⁾, 난소암¹⁵⁾ 등이 있다. 그러나, HSV-TK/GCV 유전자 치료는 *in vitro* 상에서의 우수한 성장 억제 효과에도 불구하고 *in vivo* 상에서의 성장 억제 효과는 기대치에 훨씬 못 미치는 수준이다¹⁶⁾. 이는 retrovirus를 종괴내에 국소적으로 주사할 때 retrovirus 액이 종양 세포와 부분적으로만 접하게되어 국소 감염에 의한 감염 효율이 저하되고 또한 일부 retrovirus는 혈중 내에 있는 보체에 의해 바이러스가 불활성화 되어 retrovirus를 이

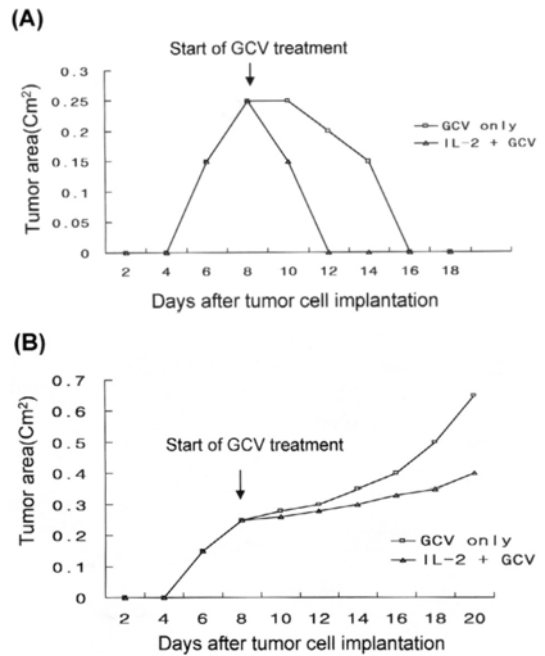


Fig. 6. Enhancement of bystander effect in murine neuroblastoma model. In 25% HSV-TK group, neuro-2a/IL-2 enhanced the effect of GCV treatment (A) In 10% HSV-TK group, the tumor growth was more delayed by neuro-2a/IL-2 and GCV treatment than GCV treatment only(B).

용한 유전자 치료가 제한되기 때문으로 알려져 있다^{17, 18)}. 그러나, 이러한 단점은 HSV-TK/GCV 유전자 치료의 독특한 특징인 bystander 효과로 어느 정도 극복되어질 수 있을 것으로 기대된다. Bystander 효과는 뇌종양⁴⁾, 골육종¹¹⁾ 등에서 보고되었으며 본 연구에서는 A/J 마우스의 신경모세포종 모델에서도 bystander 효과가 관찰되는 것을 입증하였다.

Bystander 효과의 기전은 GCV의 독성 대사 산물인 GCV-triphosphate가 세포사이의 gap junction을 통해 전달됨으로서 인접한 세포의 괴사를 일으키고⁴⁻⁶⁾, HSV-TK/GCV system에 의해 세포고사(apoptosis)가 일어난 후 apoptotic vesicle이 이웃 세포에 전달되어 세포 고사를 유발시키며³⁾, 죽은 종양 세포를 항원 제공 세포(antigen presenting cell; APC)가 탐식하여 전신적인 항 종양 면역 반응을 일으키기 때문으로 알려져 있다⁷⁻¹⁰⁾. 최근 연구에 의하면 세포사이의 gap junction에 있는 connexin의 발현이 GCV-triphosphate의 전달에 중요한 것으로 보고되고 있다⁴⁻⁶⁾. 그러나, 본 연구에서 마우스 신경모세포종 세

포 표면에서 connexin 43 발현을 관찰할 수 없었으나 bystander 효과는 비교적 명확하게 관찰할 수 있었다. 이와 같은 결과는 적어도 마우스 신경모세포종 모델에서의 bystander 효과는 connexin 매개성 gap junction에 의하지 않는다는 것을 시사한다. Dahle 등¹⁹⁾은 신장암 모델에서 connexin 발현이 없어도 bystander 효과가 관찰되었으며 이는 단백질의 인산화가 bystander 효과에서 중요한 역할을 한다고 하였다. 본 연구에서는 HSV-TK/GCV 치료 후 조직 검사에서 CD4+ T 세포 및 CD8+ T 세포 침윤을 관찰할 수 있었다. 이는 마우스 신경모세포종 모델에서 bystander 효과는 면역학적 기전이 중요한 역할을 할 것으로 생각된다.

그러나 *in vitro* 실험에서도 bystander 효과가 관찰된 것으로 볼 때 면역학적 기전 이외에 단백질의 인산화에 의한 bystander 효과 등과 같은 다른 기전에 대한 연구가 더 필요할 것으로 생각된다. 한편 *in vivo* 실험 결과로 유추해볼 때 HSV-TK/GCV system에 의한 항 종양 면역 반응의 유발은 IL-2와 같은 싸이토카인에 의해 항 종양 면역 반응을 증폭시킬 수 있을 것이다. Su 등²⁰⁾은 간암 모델에서 IL-2가 HSV-TK/GCV 치료 효과를 증폭시킨다고 보고하였고 Walling 등¹¹⁾도 골육종 모델에서 IL-2가 HSV-TK/GCV 치료 효과를 증폭시킨다고 보고하였다. 본 연구에서도 25% HSV-TK 군에서 neuro-2a/IL-2의 병합 치료는 현저하게 종양 세포의 성장을 억제하였다. 따라서 *in vivo*상에서의 HSV-TK 유전자 치료의 단점을 bystander 효과 및 이의 증폭을 통해서 극복할 수 있을 것으로 생각된다.

신경모세포종은 주로 소아에서 발생하는 악성 종양으로 1세 이상에서 발병한 제 4기 신경모세포종은 기존의 약물 치료, 방사선 치료로 5년 생존율이 10% 이하밖에 되지 않으며²¹⁾ 고용량 항암 약물 치료 후 조혈 모세포 이식을 시행하여도 생존율은 20-40%²²⁾에 불과하여 새로운 치료법의 개발이 요구되고 있다. 따라서 HSV-TK/GCV 치료에서 bystander 효과 및 이의 증폭을 통해 수술 후 남아있는 잔존암의 치료에 적용한다면 신경모세포종의 생존율 향상에 기여할 수 있을 것으로 기대된다.

요 약

목적 : 본 연구에서는 *in vitro* 및 *in vivo*에서 HSV-TK 유전자 치료의 bystander 효과 및 기전을 관찰하고, 싸이토카인 유전자의 병합 치료가 bystander 효과를 증폭시킬 수 있는지 조사하여 그 결과를 향후 신경모세포종 치료에 적용하고자 본 연구를 시행하였다.

방법 : A/J 마우스 신경모세포종 모델에서, neuro-2a/TK 세포와 unmodified neuro-2a세포를 여러 비율로 혼합하여 접종한 후 GCV를 투여하여 종양의 크기 변화 및 생존 유무를 관찰하였다. 마우스 신경모세포종에서 bystander 효과의 기전을 알아보기 위해 neuro-2a/TK 세포를 주입한 마우스의 조직을 절개하여 connexin 43, CD4+ 및 CD8+ 세포 침윤을 관찰하였다. 10% 및 25% HSV-TK 투여 군에서 neuro-2a/IL-2 세포의 투여가 bystander 효과를 증폭시키는 지 조사하였다.

결과 :

1) *in vitro* 및 *in vivo*에서 bystander 효과는 뚜렷하게 관찰되었다.

2) 마우스 신경모세포종의 면역 조직 화학 염색 검사에서 connexin 43 발현은 관찰되지 않았으나 많은 수의 CD4+ 및 CD8+ T 세포의 침윤이 관찰되었다.

3) 10% 및 25% HSV-TK 투여군의 마우스에서 neuro-2a/IL-2 세포의 투여는 대조군과 비교하여 종양의 성장을 더 억제 시켰다.

결론 : *In vitro* 및 *in vivo*에서 HSV-TK/GCV 유전자 치료의 bystander 효과는 뚜렷하였으며, 그 기전으로 면역 세포가 중요한 역할을 할 것으로 추측된다. 그리고 bystander 효과는 IL-2 투여에 의해 증폭됨을 확인하였다. 이는 향후 신경모세포종의 수술 후 잔존암 치료에 HSV-TK/GCV 유전자 치료가 이용 가능할 것으로 생각된다.

참고 문헌

- 1) Oliver S, Bublely G, Crumpacker C. Inhibition of HSV-transformed murine cells by nucleoside analogs, 2'-NDG and 2'-nor-cGMP: mechanism of inhibition and reversal by exogenous nucleosides. *Virology* 1985;145:84-93.

- 2) Freeman SM, Abboud CN, Whartenby KA, Packman CH, Koeplin DS, Moolten FL, et al. The bystander effect: Tumor regression when a fraction of the tumor mass is genetically modified. *Cancer Res* 1993;53:5274-83.
- 3) Colombo BM, Benedetti S, Ottolenghi S, Mora M, Pollo B, Poli G, et al. The bystander effect: association of U-87 cell death with ganciclovir-mediated apoptosis of nearby cells and lack of effect in athymic mice. *Hum Gene Ther* 1995;6:763-72.
- 4) Estin D, Li M, Spray D, Wu JK. Connexins are expressed in primary brain tumors and enhance the bystander effect in gene therapy. *Neurosurgery* 1999;44:361-8;discussion 368-9.
- 5) Dufлот-Dancer A, Piccoli C, Rolland A, Yamasaki H, Mesnil M. Long-term connexin-mediated bystander effect in highly tumorigenic human cells in vivo in herpes simplex virus thymidine kinase/ganciclovir gene therapy. *Gene Ther* 1998;5:1372-8.
- 6) McMasters RA, Saylor RL, Jones KE, Hendrix ME, Moyer MP, Drake RR. Lack of bystander killing in herpes simplex virus thymidine kinase-transduced colon cell lines due to deficient connexin 43 gap junction formation. *Hum Gene Ther* 1998;9:2253-61.
- 7) Vile RG, Nelson JA, Castleden S, Chong H, Hart IR. Systemic gene therapy of murine melanoma using tissue specific expression of the HSVtk gene involves an immune component. *Cancer Res* 1994;54:6228-34.
- 8) Caruso M, Panis Y, Gagandeep S, Houssin D, Salzmann JL, Klatzmann D. Regression of established macroscopic liver metastasis after in situ transduction of a suicide gene. *Proc Natl Acad Sci USA* 1993;90:7024-8.
- 9) Barba D, Hardin J, Sadelain M, Gage FH. Development of anti-tumor immunity following thymidine kinase-mediated killing of experimental brain tumors. *Proc Natl Acad Sci USA* 1994;91:4348-52.
- 10) Ramesh R, Munshi A, Abboud CN, Marrogi AJ, Freeman SM. Expression of costimulatory molecules: B7 and ICAM up-regulation after treatment with a suicide gene. *Cancer Gene Ther* 1996;3:373-84.
- 11) Walling HW, Swarthout JT, Culver KW. Bystander-mediated regression of osteosarcoma via retroviral transfer of the herpes simplex virus thymidine kinase and human interleukin-2 genes. *Cancer Gene Ther* 2000;7:187-96.
- 12) Kriegler M. Gene transfer and expression - A laboratory manual. 1st ed, Macmillan Publishers LTD, Basingstoke, 1990:96-102.
- 13) Chen S-H, Shine HD, Goodman JC, Grossman RG, Woo SL. Gene therapy for brain tumors: regression of experimental gliomas by adenovirus-mediated gene transfer in vivo. *Proc Natl Acad Sci USA* 1994;91:3054-7.
- 14) Shalev M, Thompson TC, Kadmon D, Ayala G, Kernen K, Miles BJ. Gene therapy for prostate cancer. *Urology* 2001;57:8-16.
- 15) Freeman SM, McCune C, Angel C, Abraham GN, Abboud CN. Treatment of ovarian cancer using HSV-TK gene modified vaccine-regulatory issues. *Hum Gene Ther* 1992;3:342-9.
- 16) Cho HS, Park YN, Lyu CJ, Yang CH, Ryoo KY, Kim BS, et al. Effects of retroviral mediated HSV-TK gene transfer to murine neuroblastoma cell line in vitro and in vivo. *Acta Oncologica* 1999;36:1093-7.
- 17) Vile R, Russell SJ. Gene transfer technologies for the gene therapy of cancer. *Gene Ther* 1994;1:88-98.
- 18) Welsh RM Jr, Cooper NR, Jensen FC, Oldstone MB. Human serum lyses RNA tumour viruses. *Nature* 1975;257:612-4.
- 19) Dahle J, Mikalsen SO, Rivedal E, Steen HB. Gap junctional intercellular communication is not a major mediator in the bystander effect in photodynamic treatment of MDCK II cells. *Radiat Res* 2000;154:331-41.
- 20) Su H, Lu R, Ding R, Kan YW. Adeno-associated viral-mediated gene transfer to hepatoma: thymidine kinase/interleukin-2 is more effective in tumor killing in non-ganciclovir(GCV)-treated than in GCV-treated animals. *Mol Ther* 2000;1:509-15.
- 21) Finklestein JZ, Klemperer MR, Evans A. Multi-agent chemotherapy for children with metastatic neuroblastoma: a report from Children's Cancer Study Group. *Med Pediatr Oncol* 1979;6:179-88.
- 22) Stram DO, Matthay KK, O'Leary M, Reynolds CP, Haase GM, Atkinson JB, et al. Consolidation chemoradiotherapy and autologous bone marrow transplantation versus continued chemotherapy for metastatic neuroblastoma: a report of two concurrent Children's Cancer Group Studies. *J Clin Oncol* 1996;14:2417-26.